

ИНДУЦИРОВАННЫЙ МАГНИТНЫМ ПОЛЕМ ПЕРЕХОД

МЕТАЛЛ – ДИЭЛЕКТРИК В $n\text{-Hg}_{0,8}\text{Cd}_{0,2}\text{Te}$ И.М.Цидильковский, Ю.Г.Арапов, А.Б.Давыдов,
М.Л.Зверева

Показано, что в магнитных полях, превышающих пороговое поле H_0^{xy} , в сильно легированных компенсированных полупроводниках $n\text{-Hg}_{0,8}\text{Cd}_{0,2}\text{Te}$ происходит переход металл – диэлектрик. Обсуждается зависимость H_0^{xy} от концентрации электронов.

В последние годы появился ряд работ (например, ^{1–3}), в которых особенности кинетических коэффициентов у $n\text{-Hg}_{0,8}\text{Cd}_{0,2}\text{Te}$ при низких температурах $0,01 \leq T \leq 30$ К интерпретируются как свидетельство вигнеровской кристаллизации. Другие авторы ^{4, 5} объясняют аналогичные особенности локализацией электронов во флуктуационных ямах потенциального рельефа, образованного случайно распределенными примесями. Авторы ¹, исследовавшие некоторые явления переноса в кристаллах $\text{Hg}_{0,8}\text{Cd}_{0,2}\text{Te}$ со степенью компенсации $K = 0,4 \div 0,5$, заключили, что концентрация электронов n постоянна, а подвижность в сильных магнитных полях экспоненциально растет с температурой. Это соответствует качественным соображениям о потоке вязкой жидкости коррелированных электронов ⁶. В ² резкий рост холловского сопротивления $\rho_{xy}(H)$ у образцов $n\text{-Hg}_{0,8}\text{Cd}_{0,2}\text{Te}$ с $K = 0,4 \div 0,6$ в магнитных полях H , выше некоторого порогового поля H_0^{xy} , связывается с вигнеровской кристаллизацией. В ³ те же авторы утверждают, что возрастание $\rho_{xy}(H)$ обусловлено переходом Мотта. Небольшой провал на кривых $\rho_{xy}(H)$ в полях $H < H_0^{xy}$ объясняется на основе модели вязкой жидкости ⁶.

Интерпретация опытных данных в ^{1–3} вызывает серьезные возражения, которые мы изложим в отдельной статье. Здесь же заметим, что при $K = 0,4 \div 0,6$ флуктуирующее электрическое поле примесей должно разрушить электронное упорядочение.

Мы исследовали зависимости коэффициента Холла $R(H)$, продольного $\rho_{zz}(H)$ и поперечного $\rho_{xx}(H)$ магнитосопротивлений в интервале температур $1,7 \leq T \leq 300$ К на сильно легированных ($N_D a_B^3 \sim 10$, N_D – концентрация доноров, a_B – боровский радиус) и сильно компенсированных ($0,6 \leq K \leq 0,8$) полупроводниках (СЛКП) $\text{Hg}_{0,8}\text{Cd}_{0,2}\text{Te}$ с $1,1 \cdot 10^{14} \leq n \leq 1,2 \cdot 10^{15} \text{ см}^{-3}$. Степень компенсации образцов K оценивалась по подвижности электронов. В квантующих магнитных полях наблюдаются следующие особенности кинетических коэффициентов. 1) С ростом магнитного поля и температуры ρ_{zz} и ρ_{xx} изменяются значительно сильнее, чем предсказывает теория для рассеяния на примесных ионах. При этом $\rho_{zz}(H)$ растет практически также, как и $\rho_{xx}(H)$. 2) При температурах $1,7 \leq T \leq 30$ К в полях $H > H_0^{xy} |R(H)|$ убывает, причем крутизна спада кривой увеличивается при понижении температуры.

Уменьшение $|R(H)|$ характерно для ситуации, когда в проводимости участвуют носители заряда со значительно различающимися подвижностями $\mu_1 \gg \mu_2$. Проведенный в рамках двухзонной модели анализ зависимостей $R(H)$ и $\rho_{xx}(H)$ показывает, что в магнитных полях концентрация легких электронов n_1 убывает, а концентрация тяжелых – n_2 растет (сумма $n_1 + n_2$ остается постоянной). Уменьшение $n_1(H)$ напоминает вымораживание электронов на ионизованные доноры. Однако оценка порогового поля перехода Мотта H_M с помощью соотношения $2\lambda^2 a_B \frac{N_D}{\ln(a_B/\lambda)} \simeq (0,25)^3$ ($\lambda = (c\hbar/eH)^{1/2}$ – магнитная длина) для образцов с $N_D = 4,8 \cdot 10^{14} \div 3,1 \cdot 10^{15} \text{ см}^{-3}$ дает $H_M = 60 \div 130$ кЭ, что почти на 2 порядка превосходит экспериментальные значения H_0^{xy} .

Зависимости $R(H)$ и $n_1(H)$ хорошо объясняются в рамках теории локализации электронов СЛКП ⁷. В сильных магнитных полях ($\hbar\omega_c \gg \epsilon_F$) уровень Ферми понижается относительно уровня протекания ϵ_p , и электроны локализуются во флуктуационных ямах – происходит переход металл – диэлектрик. Критическое поле локализации H_0 определяется равенством $\epsilon_F(H) = \epsilon_p(H)$.

Радиус экранирования для наших образцов в магнитных полях $H \geq H_0^{xy}$ в несколько раз меньше длины волны электрона, и согласно⁷ для случая нелинейного экранирования

$$H_0 \simeq \frac{9\pi^2}{2} \frac{c\hbar}{e} a_B n \frac{1-K}{1+K} . \quad (1)$$

Выражение (1) отличается от приведенного в⁷ коэффициентом $9\pi^2/2$.

Экспериментально найденные значения H_0^{xy} и вычисленные согласно (1) значения H_0 для образцов $Hg_{1-x}Cd_xTe$ с $0,19 \leq x \leq 0,22$ ($1,2 \cdot 10^{-5} \leq a_B \leq 2,6 \cdot 10^{-5}$ см) и $K = 0,6 \div 0,8$ как функции n приведены на рис. 1. Экспериментальные данные вполне удовлетворительно согласуются с результатами расчета. Для сравнения на рис. 1 представлена зависимость от n поля перехода Вигнера H_W , рассчитанная для $T=0$ по формулам⁸. Видно, что поля H_W в несколько раз превышают экспериментальные значения H_0^{xy} . Согласно расчету⁹ электронное упорядочение для кристаллов $Hg_{0,8}Cd_{0,2}Te$ с $10^{14} \leq n \leq 10^{15}$ см⁻³ должно наступить при $T < 1$ К и $H \sim 10^4$ Э. Это служит дополнительным аргументом против вывода работ¹ об электронной кристаллизации при $T > 1,5$ К.

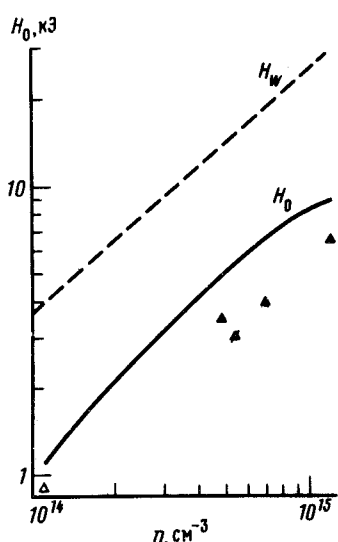


Рис. 1

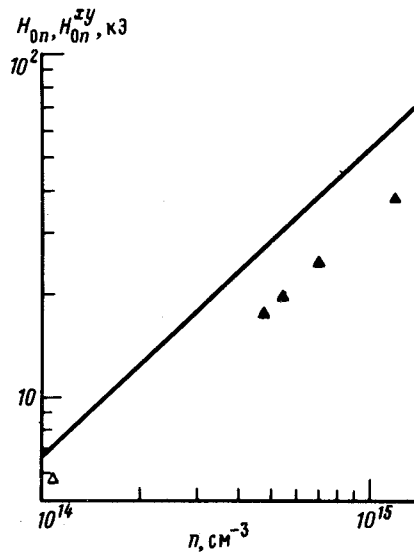


Рис. 2

Рис. 1. Зависимость критического поля H_0^{xy} (▲) от концентрации электронов

Рис. 2. Зависимость критических полей H_{0pp}^{xy} (▲) и H_{0n} (сплошная линия) от концентрации электронов

Поскольку исследованные нами образцы несколько различаются по содержанию Cd и степени компенсации, мы построили зависимости от n приведенных пороговых полей $H_{\text{оп}}^{xy} = H_0^{xy} \frac{a_B(x=0,2)}{a_B(x)} \frac{1+K}{1-K}$ и $H_{\text{оп}} = H_0 \frac{a_B(x=0,2)}{a_B(x)} \frac{1+K}{1-K}$ (рис. 2). Зависимость $H_{\text{оп}}^{xy}(n)$

практически линейна, что находится в полном соответствии с предсказаниями теории⁷ для СЛКП.

Можно привести и другие данные, противоречащие объяснению особенностей кривых $\rho_{zz}(H, T)$, $\rho_{xx}(H, T)$ и $R(H, T)$ электронной кристаллизацией. Так, анализ $n_1(H)$ и $R(H)$ показывает, что при $H > H_0^{xy}$ концентрация $n_1(T)$ растет, и, следовательно, легкие электроны — это электроны, активированные выше уровня ϵ_p . Еще один факт: даже в ограниченном интервале температур $1,7 \leq T \leq 10$ К $\rho_{zz}(T^{-1})$ не удается описать единой экспонентой, требуемой теорией вязкой жидкости. Этот экспериментальный результат характерен для ситуации, когда в проводимости участвуют как делокализованные электроны зоны проводимости, так и сильно рассеиваемые электроны примесных состояний, для которых $(\hbar/\tau) \gtrsim \gtrsim \epsilon_F^{10}$ — (τ — время релаксации).

Итак, все обнаруженные особенности кинетических эффектов для $Hg_{0.8}Cd_{0.2}Te$ объясняются индуцированной магнитным полем локализацией электронов во флуктуационных ямах потенциального рельефа.

Литература

1. *Gebhardt J., Nimtz G., Schlicht B., Stadler J.* Phys. Rev. B, 1985, **32**, 5449; *Gebhardt J., Nimtz G.* Solid State Comm., 1985, **56**, 131.
2. *Rosenbaum T., Field S., Nelson D., Littlewood P.* Phys. Rev. Lett., 1985, **54**, 241.
3. *Shayegan M., Drew M., Nelson D., Tedrov P.* Phys. Rev. B., 1985, **31**, 6123; Phys. Rev. B, 1985, **32**, 6952.
4. *Арапов Ю.Г., Давыдов А.Б., Зверева М.Л., Стәфееев В.И., Цидильковский И.М.* ФТП, 1983, **17**, 1392.
5. *Аронзон Б.А., Копылов А.В., Мейлихов Е.З., Горбатюк И.Н., Раренко И.М., Тальянский Э.В.* ЖЭТФ, 1985, **89**, 126.
6. *Adkins C.J.* J. Phys. C, 1978, **11**, 851.
7. *Шкловский В.И., Эфрос А.Л.* ЖЭТФ, 1973, **64**, 2222.
8. *Kleppmann W.G., Elliott R.J.* J. Phys. C, 1975, **8**, 2729.
9. *Gerhardts R.R.* Solid State Comm., 1980, **36**, 397.
10. *Цидильковский И.М., Матвеев Г.А., Лончаков А.Т.* ФТП, 1986, **20**, 515.

Институт физики металлов
Академии наук СССР УНЦ

Поступила в редакцию
22 мая 1986 г.